

共振情况下非自治系统的 Hopf 分叉*

程崇庆 季文美

(西北工业大学, 1987年5月14日收到)

摘 要

本文研究了共振情况下非自治系统的 Hopf 分叉问题, 得到了和非共振情况下 Hopf 分叉相类似的结果.

(一)

本文研究如下方程零解的分叉问题:

$$\dot{x} = A(\mu)x + F(t, x, \mu) \quad (1.1)$$

其中 $x \in R^2$, $F = O(\|x\|^2)$, 关于 t 为 2π 周期. 在研究微分方程周期解的分叉情况时, 如果分叉发生在二维中心流形上, 我们便可得到上述方程.

文献[1]研究了方程(1.1)在非共振情况下的分叉情况, 得到了与经典 Hopf 分叉平行的结果. 文献[3]则对受外加激励的 Hopf 分叉作了研究. 本文对方程(1.1)在共振情况下的分叉问题做了研究, 得到了比非共振情况复杂的结果.

(二)

对方程(1.1)作一些假设:

1. $A(\mu)$ 的特征值为 $\lambda(\mu)$, $\bar{\lambda}(\mu)$; 其中 $\lambda(\mu) = \alpha_0(\mu) + i\omega(\mu)$, $\alpha_0(0) = 0$, $\omega(0) \neq 0$.
2. $F(t, x, \mu)$ 在区域 $(-\infty, \infty) \times D \times (-\mu_0, \mu_0)$ 上解析, $F(\cdot, x, \cdot) = O(\|x\|^2)$, $F(t, \cdot, \cdot) = F(t + 2\pi, \cdot, \cdot)$, $D \subset R^2$, $(0, 0) \in \text{int}D$.

引理1 用适当的变量代换, 可把方程(1.1)变换成为如下复平面上的方程:

$$\dot{y} = \lambda(\mu)y + yP(y\bar{y}, \lambda) + Q(t, y, \bar{y}, \lambda) + Y(t, y, \bar{y}, \mu) \quad (2.1)$$

其中

$$P(y\bar{y}, \mu) = \sum_{l=1}^N p_l(\mu)(y\bar{y})^l \quad (p_l = \alpha_l + i\beta_l)$$

* 朱照宣推荐.

$$Q(t, y, \bar{y}, \mu) = \sum_{\substack{k+l=2N+1 \\ (k-l-1)\omega(0)=m}} \sigma_{kl} \exp[i(\varphi_{kl}-mt)] y^k \bar{y}^l$$

$$Y(t, y, \bar{y}, \mu) = O(\|y\|^{2N+2})$$

证明 不失一般性, 我们可以假设 (1.1) 式具有如下形式:

$$\begin{cases} \dot{x}_1 = \alpha_0(\mu)x_1 - \omega(\mu)x_2 + f_1(t, x_1, x_2, \mu) \\ \dot{x}_2 = \omega(\mu)x_1 + \alpha_0(\mu)x_2 + f_2(t, x_1, x_2, \mu) \end{cases} \quad (2.2)$$

令 $z = x_1 + ix_2$, (2.2) 式等价于下列方程:

$$\dot{z} = \lambda(\mu)z + Z(t, z, \bar{z}, \mu) \quad (2.3)$$

引入 Poincare 变换代换:

$$z = y + \sum_{k+l \leq 2N+1} \psi_{kl}(t, \mu) y^k \bar{y}^l = y + \Phi(t, y, \bar{y}, \mu) \quad (2.4)$$

其中 ψ_{kl} 待定, 关于 t 为 2π 周期. 假设 (2.3) 式经变换 (2.4) 后成为 (2.1) 式, 对 (2.4) 式两端求导, 我们可得:

$$\begin{aligned} & \sum \dot{\psi}_{kl} y^k \bar{y}^l + \sum (k\lambda + l\bar{\lambda} - \lambda) \psi_{kl} y^k \bar{y}^l \\ &= -y \sum p_l (y\bar{y})^l - \sum \sigma_{kl} \exp[i(\varphi_{kl}-mt)] y^k \bar{y}^l + Z(t, y + \Phi, \bar{y} + \bar{\Phi}) \\ & \quad - (yP + Q) \Phi'_y - (\bar{y}\bar{P} + \bar{Q}) \bar{\Phi}'_{\bar{y}} - Y - Y\Phi'_y - Y\bar{\Phi}'_{\bar{y}} \end{aligned}$$

比较两边 $y^k \bar{y}^l$ ($2 \leq k+l \leq 2N+1$), 我们可得:

$$\dot{\psi}_{kl} + (k\lambda + l\bar{\lambda} - \lambda) \psi_{kl} = \Delta_{kl} + \xi_{kl}(t) \quad (2.5)$$

其中

$$\Delta_{kl} = \begin{cases} 0 & ((k-l-1)\omega(0) \neq m, m=0, \pm 1, \pm 2, \dots) \\ -p_l & (k=l+1) \\ -\sigma_{kl} \exp[i(\varphi_{kl}-mt)] & ((k-l-1)\omega(0) = m, m \neq 0) \end{cases}$$

$\xi_{kl}(t)$ 只依赖于 Z 的相应 Taylor 展式的系数以及那些 $\psi_{k'l'}$, $\sigma_{k'l'} \exp[i(\varphi_{k'l'} - m't)]$ ($k'+l' < k+l$) 和 $p_{l'}$ ($2l' < k+l$).

如果 Δ_{kl} 满足第一个条件, (2.5) 式是非共振的, 因而当然有 2π 周期解. 在第二条件下, 我们取

$$p_l = -\frac{1}{2\pi} \int_0^{2\pi} \xi_{kl}(t) dt$$

既然右端是一个平均值为零的周期函数, 当 μ 在 0 附近时, (2.5) 也有 2π 周期解. 在第三条件下, 如果让

$$\sigma_{kl} \exp[i\varphi_{kl}] = \frac{1}{2\pi} \int_0^{2\pi} \xi_{kl}(t) \exp[imt] dt$$

这表示能够引起共振的频率分量已被去除, 因不难证明以如上方式得到的 $\psi_{kl}(t, \mu)$ 是解析的. \square

在 (2.1) 式中, 阶次低于 $2N+2$ 的有关项仍然与 t 有关, 这不利于分析, 我们应该作进一步化简. 取

$$y = w \exp[i\omega(0)t]$$

如果 $(k-l-1)\omega(0)=m$, 那么

$$\exp(-imt)y^k y^l = w^k \bar{w}^l \exp[i\omega(0)t]$$

根据 (21.1) 式, 可得:

$$\begin{aligned} \dot{w} = & (\lambda(\mu) - i\omega(0))w + wP(w\bar{w}, \mu) \\ & + Q(0, w, \bar{w}, \mu) + Y(t, w, \bar{w}, \mu) \end{aligned}$$

取极坐标

$$w = r \exp[i\varphi]$$

$$\left\{ \begin{aligned} \dot{r} = & \sum_{j < 2N+2} \left(\sum_{(k-l-1)\omega = m} \sigma_{kl} \cos\left(\frac{m}{\omega}\varphi + \varphi_{kl}\right) \right) r^j \\ & + \sum_{l=0}^N \alpha_l r^{2l+1} + R(t, r, \varphi, \mu) \\ \dot{\varphi} = & \sum_{j < 2N+2} \left(\sum_{(k-l-1)\omega = m} \sigma_{kl} \sin\left(\frac{m}{\omega}\varphi + \varphi_{kl}\right) \right) r^{j-1} \\ & + \omega(\mu) - \omega(0) + \sum_{l=0}^N \beta_l r^{2l} + \Phi(t, r, \varphi, \mu) \end{aligned} \right.$$

其中

$$\left. \begin{aligned} R(t, r, \varphi, \mu) &= O(r^{2N+3}) \\ \Phi(t, r, \varphi, \mu) &= O(r^{2N+2}) \end{aligned} \right\} \quad (2.6)$$

方便于讨论起见, 我们将 (2.6) 式分为两种情况加以研究: 第一种情况是存在 $r_0 > 0$, $\dot{\varphi}(r, \varphi)$ 定正 (定负) ($r < r_0$); 第二种情况是 $\dot{\varphi}$ 在原点的邻域内变号. 当然这两种情况的区分都是当 $\mu = 0$. 本文中我们始终假设当 $\mu = 0$ 时原点是渐近稳定的, 而当 $\mu > 0$ 时失稳.

(三)

本节研究第一种类型的分叉问题, 并假设 $\beta_1(0) > 0$, 对于 $\beta_1(0) < 0$, 研究方法类似. 我们把 (2.6) 式重新写成关于 r 的幂级数形式:

$$\left. \begin{aligned} \dot{r} = & \sum_{j=1}^{2N+1} R_j(\varphi, \mu) r^j + r^{2N+2} R(t, r, \varphi, \mu) \\ \dot{\varphi} = & \omega(\mu) - \omega(0) + \sum_{j=1}^{2N} \Phi_j(\varphi, \mu) r^j + r^{2N+1} \Phi(t, r, \varphi, \mu) \end{aligned} \right\} \quad (3.1)$$

当然, $\sigma_{kl}(0) = 0$ ($k+l=2$)

引理 2 如果 $\omega(\mu) \equiv \omega(0)$, $\sigma_{kl}(\mu) \equiv 0$ ($k+l=2$), 存在一个解析的变量代换 T_μ ,

$$T_\mu: \begin{cases} \rho = \rho(r, \varphi, \mu) \\ \theta = \theta(\varphi, \mu) \end{cases}$$

其中 ρ, θ 关于 φ 均为 2π 周期, $\theta(0, \mu) = 0$, $\theta(2\pi, \mu) = 2\pi$. 以及 $r_0 > 0$, 当 $r < r_0$ 时, (3.1) 式可变换成如下形式:

$$(a) \text{ 如果 } \alpha_0(\mu) \neq 0 \ (\mu > 0), \text{ avg}\left(\frac{R_0(\varphi, 0)}{\Phi_2(\varphi, 0)}\right) = 0$$

$$\left. \begin{aligned} \dot{\rho} &= \sum_{j=1}^{2N+1} P_j(\theta, \mu) \rho^j + \rho^{2N+2} P(t, \rho, \theta, \mu) \\ \dot{\theta} &= \sum_{j=2}^{2N} \Theta_j(\theta, \mu) \rho^j + \rho^{2N+1} \Theta(t, \rho, \theta, \mu) \end{aligned} \right\} \quad (3.2a)$$

其中

$$\begin{aligned} P_1(\theta, \mu) &= \alpha_0(\mu) \\ P_j(\theta, 0) &= 0 \quad (j \leq 2q) \\ P_{2q+1}(\theta, 0) &= \tilde{\alpha}_q \\ \Theta_2(\theta, \mu) &= \tilde{\beta}_1 = 2\pi / \int_0^{2\pi} \frac{d\varphi}{\Phi_2(\varphi, \mu)} \end{aligned}$$

(b) 如果 $\alpha_0(\mu) \equiv 0$

$$\left. \begin{aligned} \dot{\rho} &= \exp 2\tilde{R}_3(\theta, \mu) \sum_{j=2p+1}^{2N+1} P_j(\theta, \mu) \rho^j + \rho^{2N+2} P(t, \rho, \theta, \mu) \\ \dot{\theta} &= \sum_{j=2}^{2N} \Theta_j(\theta, \mu) \rho^j + \rho^{2N+1} \Theta(t, \rho, \theta, \mu) \end{aligned} \right\} \quad (3.2b)$$

其中

$$\begin{aligned} \tilde{R}_3(\theta, \mu) &= \frac{1}{\tilde{\beta}_1} \int_0^{\varphi(\theta)} \frac{1}{\Phi_2(\varphi)} \left[R_3(\varphi, \mu) - \tilde{\beta}_1 \text{avg} \left(\frac{R_3(\varphi, \mu)}{\Phi_2(\varphi, \mu)} \right) \right] d\varphi \\ P_{2p+1}(\theta, \mu) &= \tilde{\alpha}_p(\mu) \quad (\tilde{\alpha}_p(0) = 0) \\ \Theta_2(\theta, \mu) &= \tilde{\beta}_1 \exp[2\tilde{R}_3(\theta, \mu)] \end{aligned}$$

其余各项的意义和 (3.2a) 中一样。

(c) 如果 $\alpha_0(\mu) \neq 0$ ($\mu \neq 0$), $\text{avg} \left(\frac{R_3(\varphi, 0)}{\Phi_2(\varphi, 0)} \right) \neq 0$

$$\left. \begin{aligned} \dot{\rho} &= \alpha_0(\mu) \rho + \tilde{\beta}_1(\mu) \text{avg} \left(\frac{R_3(\varphi, \mu)}{\Phi_2(\varphi, \mu)} \right) \exp 2\tilde{R}_3(\theta, \mu) \rho^3 \\ &\quad + \sum_{j=4}^{2N+1} P_j(\theta, \mu) \rho^j + \rho^{2N+2} P(t, \rho, \theta, \mu) \\ \dot{\theta} &= \tilde{\beta}_1(\mu) \exp 2\tilde{R}_3(\theta, \mu) \rho^2 + \sum_{j=3}^{2N} \Theta_j(\theta, \mu) \rho^j + \rho^{2N+1} \Theta(t, \rho, \theta, \mu) \end{aligned} \right\} \quad (3.2c)$$

证明 引进如下变量代换 $T_\theta, T_3, T_j (j \geq 4), T_*$

$$T_\theta \begin{cases} r=r \\ \theta = \tilde{\beta}_1(\mu) \int_0^\varphi \frac{d\varphi}{\Phi_2(\varphi, \mu)} \end{cases}$$

显然 T_θ 定义了一个函数关系 $\theta = \theta(\varphi)$, $\theta(0) = 0$, $\theta(2\pi) = 2\pi$, $d\theta/d\varphi > 0$. 因而具有反函数。

$$T_3 \begin{cases} \rho = r \exp(-\tilde{R}_3(\theta, \mu)) \\ \theta = \theta \end{cases}$$

$$T_j \begin{cases} \rho = \frac{r}{(1 + \tilde{P}_j(\theta, \mu) r^{j-3})^{\frac{1}{j-3}}} \\ \theta = \theta \end{cases} \quad (j \geq 4)$$

其中

$$\tilde{P}_j(\theta, \mu) = (j-3) \int_0^\theta \left(\frac{P_j(\theta, \mu)}{\beta_1(\mu) \exp 2\tilde{R}_3(\theta, \mu)} - \text{avg} \left[\frac{P_j(\theta, \mu)}{\beta_1(\mu) \exp 2\tilde{R}_3(\theta, \mu)} \right] \right) d\theta$$

T_j 的形式和 T_θ 一样. 对于情况 (c), 取 $T_\mu = T_3 \circ T_\theta$; 对于情况 (b), 取 $T_\mu = T_{2q+1} \circ \cdots \circ T_3 \circ T_\theta$ ($q > 1$); 对于情况 (a), 取 $T_\mu = T_{2q+1} \circ \cdots \circ T_q \circ T_3 \circ T_\theta$ ($q > 1$). 既然 T_μ 是有限个 T_j 与 T_θ, T_q 的复合, 所以总可以找到 $r_0 > 0$, 当 $r < r_0$, T_μ 满足我们的要求, T_μ 的解析性是容易验证的. \square

根据本文对原点的稳定性假设, 总存在 $q \geq 1$, 使得 $\alpha_q(0) < 0$.

定理 1 如果 $\omega(0) \neq 0$, $\frac{1}{3} \pmod{\frac{1}{3}}$, $\frac{d\omega(0)}{d\mu} = 0$, $\tilde{\alpha}'_i = \frac{d\tilde{\alpha}_i}{d\mu} > 0$, 当 $\mu > 0$ 充分小时,

(3.1) 式从原点分叉出一个渐近稳定的, 关于其 2π 周期 Poincare 映射的不变圈.

证明 由于 $\omega(0) \neq 0$, $\frac{1}{3} \pmod{\frac{1}{3}}$, $\sigma_{k+l}(\mu) = 0$ ($k+l=2$). 分如下三部分证明:

(a) $p=0, q>1$

根据 (3.2a) 式容易验证存在一个正数 M , 在圆

$$\rho = \left(-\frac{\tilde{\alpha}_p(\mu)}{\tilde{\alpha}_q(\mu)} \right)^{\frac{1}{2d}} (1 + M\mu^{\frac{1}{2d}}) \quad (d=q-p)$$

上, ρ 是定负的, 而在圆

$$\rho = \left(-\frac{\tilde{\alpha}_p(\mu)}{\tilde{\alpha}_q(\mu)} \right)^{\frac{1}{2d}} (1 - M\mu^{\frac{1}{2d}})$$

上, ρ 是定正的. 根据 Bendixson 定理, 方程 (3.2) 的自治近似方程

$$\left. \begin{aligned} \dot{\rho} &= \sum_{j=1}^{2N+1} P_j(\theta, \mu) \rho^j \\ \dot{\theta} &= \sum_{j=0}^{2N} \Theta_j(\theta, \mu) \rho^j \end{aligned} \right\} \quad (3.3)$$

具有一个渐近稳定的极限环 $\rho = \rho_0(\theta, \mu)$

$$\rho_0(\theta, \mu) = \left(-\frac{\tilde{\alpha}_p(\mu)}{\tilde{\alpha}_q(\mu)} \right)^{\frac{1}{2d}} (1 + \mu^{\frac{1}{2d}} \rho_1(\theta, \mu))$$

选择变量代换

$$\rho = \rho_0(\theta, \mu) (1 + \mu^s x) \quad \left(s = \frac{2q+1}{2d} \right)$$

令 $N=2q$, 注意到 $\rho_0(\theta, \mu)$ 是 (3.3) 式的解, 我们可从 (3.2) 式导得 (3.4) 式:

$$\begin{cases} \dot{x} = \left(\sum_{j=1}^{2N} (j-1) P_j(\theta, \mu) \rho_0^{j-1}(\theta, \mu) \right) x + \mu^s X(t, x, \theta, \mu) \\ \dot{\theta} = \sum_{j=0}^{2N} \Theta_j(\theta, \mu) \rho_0^j(\theta, \mu) + \mu^s \Theta(t, x, \theta, \mu) \end{cases} \quad (3.4)$$

定义

$$\hat{R}(\theta, \mu) = \frac{1}{2\pi} \int_0^\theta \frac{\sum_{j=1}^{2N} (j-1) P_j(\theta, \mu) \rho_0^{j-1}(\theta, \mu)}{\sum_{j=0}^{2N} \Theta_j(\theta, \mu) \rho_0^j(\theta, \mu)} d\theta$$

取代换

$$\begin{cases} x = y \exp(\hat{R}(\theta, \mu) - \hat{\alpha}_0(\mu)) \\ \psi = \hat{\beta}_0(\mu) \int_0^\theta \sum \Theta_j(\theta, \mu) \rho_0^j(\theta, \mu) d\theta \end{cases}$$

$$\text{其中 } \hat{\alpha}_0(\mu) = \hat{R}(2\pi, \mu), \hat{\beta}_0(\mu) = \int_0^{2\pi} \frac{d\theta}{\sum \Theta_j(\theta, \mu) \rho_0^j(\theta, \mu)}$$

注意到 $d\psi/d\theta > 0$, $\psi(0, \mu) = 0, \psi(2\pi, \mu) = 2\pi$, 存在反函数 $\theta = \theta^{-1}(\psi)$. 正如上代换之下, (3.4) 式被变换成为如下形式:

$$\dot{y} = \hat{\alpha}_0 y + \mu^s Y(t, y, \bar{y}, \mu), \quad \dot{\psi} = \hat{\beta}_0 + \mu^s \Psi(t, y, \bar{y}, \mu) \quad (3.5)$$

既然 $\rho_0(\theta, \mu)$ 是 (3.3) 式的解, 所以

$$\int_0^{2\pi} \frac{\sum P_j(\theta, \mu) \rho_0^{j-1}(\theta, \mu)}{\sum \Theta_j(\theta, \mu) \rho_0^j(\theta, \mu)} d\theta = 0$$

$$\text{因此 } \hat{\alpha}_0(\mu) = \frac{1}{2\pi} \int_0^{2\pi} \frac{(2q\tilde{\alpha}_q(\mu) + o(\mu^{1/2d})) \rho_0^{2q}(\theta, \mu)}{\sum \Theta_j(\theta, \mu) \rho_0^j(\theta, \mu)} d\theta$$

根据本节的假设以及 $\tilde{\alpha}_q(0) < 0$, 显然有

$$-M < \lim_{\mu^{(q-1)/d}} \hat{\alpha}_0(\mu) < -m < 0$$

根据 Hale 积分流形定理^[2], (3.5) 式有一个渐近稳定解 $y(t, \psi) ((t, \psi) \in T^2)$.

(b) $p > 0$

与情况 (a) 类似, 我们可导出如下方程:

$$\begin{cases} \dot{x} = \left(\exp 2\tilde{R}_3 \sum_{j=2p+1}^{2N+2} (j-1) P_j(\theta, \mu) \rho_0^{j-1}(\theta, \mu) \right) x + \mu^s X(t, x, \theta, \mu) \\ \dot{\theta} = \exp 2\tilde{R}_3 \sum_{j=2} \Theta_j(\theta, \mu) \rho_0^j(\theta, \mu) + \mu^s \Theta(t, x, \theta, \mu) \end{cases}$$

由于 $\exp 2\tilde{R}_3 > 0$, 证明与 (a) 类似.

(c) $p=0, q=1$

根据 (3.2c), 在圆

$$\rho^2 = \frac{1}{2} \frac{\alpha_0(\mu)}{\max\left(\exp(2\tilde{R}_3) \text{avg}\left(\frac{R_3}{\Phi_2}\right) \beta_1(\mu)\right)}$$

上, ρ 定正, 而在圆

$$\rho^2 = \frac{2\alpha_0(\mu)}{\min\left(\exp(2\tilde{R}_3) \text{avg}\left(\frac{R_3}{\Phi_2}\right) \beta_1(\mu)\right)}$$

上, ρ 定负, 因此 (3.3) 有一个稳定的极限环, 并且有

$$0 < m < \frac{\rho_0(\theta, \mu)}{\mu^{1/2}} < M$$

其余证明与情况 (a) 一样. □

(四)

本节研究第二类情况下方程 (2.6) 的分叉问题, 并且假设 $\omega(0) = 0, \frac{1}{2} \pmod{1}$, 第一共振项非零 ($\mu = 0$). 根据 (2.6) 式, 这意味着 $\sigma_{0l}(0) \neq 0$ ($-(l+1)\omega(0) = n, \omega(0) = n/m$ ($n, m) = 1$). 当 $\mu = 0$ 时, (2.6) 式的自治近似式为:

$$\left. \begin{aligned} \dot{r} &= \sigma_{0l} \cos((l+1)\varphi) r^l + \alpha_q r^{2q+1} + O(r^{l+1}) \\ \dot{\varphi} &= -\sigma_{0l} \sin((l+1)\varphi) r^{l-1} + \beta_q r^{2q} + O(r^l) \end{aligned} \right\} \quad (4.1)$$

不失一般性, 我们设 $\sigma_{0l} = 1$. 由于 $\mu = 0$ 时原点渐近稳定, 所以有如下关系:

$$\left. \begin{aligned} |\beta_q| < 1, \quad -\alpha_q > \sqrt{1 - \beta_q^2} \quad (2q+1=l) \\ \beta_q = 0, \quad \alpha_q < 1 \quad (2q+1 < l) \end{aligned} \right\} \quad (4.2)$$

在 $-\alpha_q = \sqrt{1 - \beta_q^2}$ 的临界情况下, 原点的稳定性要由高阶项来决定, 本文不考虑这种临界情况.

既然当 $\mu > 0$ 时, 原点失稳, 必然存在 $\alpha_p(\mu) > 0$ ($p < q$), 同时在 $\dot{\varphi}$ 的右端也将出现一些低阶项. 这里我们假设只要 $\alpha_p(\mu), \beta_s(\mu) \neq 0$ ($p < q, s < q$), 就有 $\alpha'_p(0) \neq 0, \beta'_s(0) \neq 0$. 因而我们只需研究下列方程:

$$\left. \begin{aligned} \dot{r} &= \alpha_p(\mu) r^{2p+1} + \alpha_q(\mu) r^{2q+1} + \cos((l+1)\varphi) r^l \\ \dot{\varphi} &= \beta_s(\mu) r^{2s} + \beta_q(\mu) r^{2q} - \sin((l+1)\varphi) r^{l-1} \end{aligned} \right\} \quad (4.3)$$

显然当 $2q+1 < l$ 时的分叉情况的分析要比 $2q+1=l$ 的分析简单, 因此我们假设 $2q+1=l$.

$$\left. \begin{aligned} \dot{r} &= \alpha_p(\mu) r^{2p+1} + (\alpha_q + \cos 2(q+1)\varphi) r^{2q+1} \\ \dot{\varphi} &= \beta_s(\mu) r^{2s} + (\beta_q - \sin 2(q+1)\varphi) r^{2q} \end{aligned} \right\} \quad (4.4)$$

首先我们研究 $s > p$ 的情况, 设 $\beta_q(0) > 0$, 令

$$\left. \begin{aligned} R(\psi, r) &= \alpha_p r^{2p+1} + (\alpha_q + \cos \psi) r^{2q+1} = 0 \\ \Phi(\psi, r) &= \beta_s r^{2s} + (\beta_q - \sin \psi) r^{2q} = 0 \end{aligned} \right\} \quad (4.5)$$

$R(\psi, r) = 0$ 决定了一条曲线 c_r , $\Phi(\psi, r) = 0$ 决定了一条曲线 c_ψ , 它们的形状及相互位置关系如图所示:

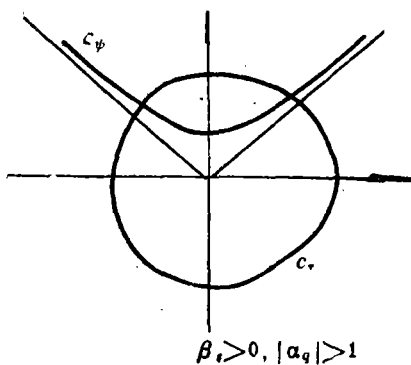


图 1

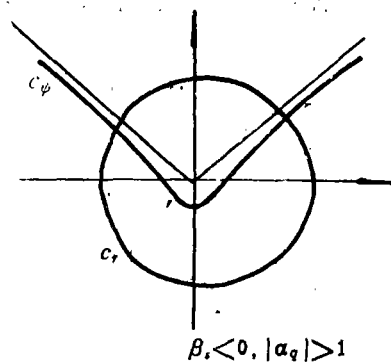


图 2

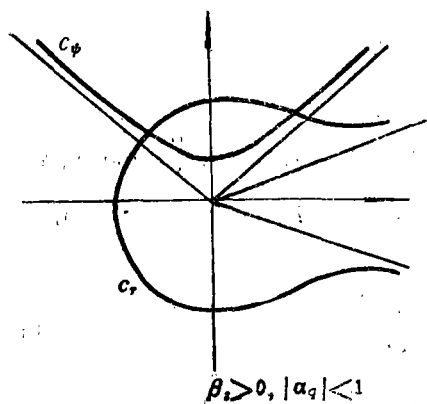


图 3

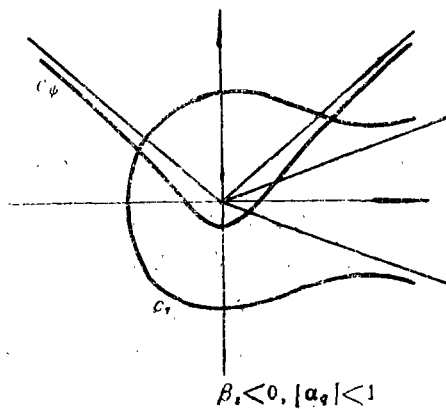


图 4

c_ψ 有两条渐近线 $\beta_q = \sin\psi$, 如果 $|\alpha_q| < 1$, c_r 也有两条渐近线, 它们在 $|\alpha_q| = 1$ 时重合. 当 $|\alpha_q| > 1$ 时, c_r 是一条闭曲线.

既然 $s > p$, $\alpha_r(\mu) \sim \mu$, $\beta_s(\mu) \sim \mu$, c_r 与 c_ψ 有两个交叉点, 这表示 (4.4) 式有 $4(q+1)$ 个奇点. 为了与曲线 c_ψ 相交, 在交叉点上 c_r 必须满足下列关系:

$$\beta_q - \sin 2(q+1)\varphi \sim \mu^{\frac{s-p}{q-p}}$$

这表示交叉点必须非常接近 c_ψ 的渐近线. 从以上这些性质, 我们可以推得在 $2(q+1)$ 个奇点上:

$$\det \left(\frac{\partial(\dot{r}, \dot{\varphi})}{\partial(r, \varphi)} \right) \Big|_s > 0$$

$$\text{trace} \left(\frac{\partial(\dot{r}, \dot{\varphi})}{\partial(r, \varphi)} \right) \Big|_s < 0$$

在另外 $2(q+1)$ 个奇点上

$$\det \left(\frac{\partial(\dot{r}, \dot{\varphi})}{\partial(r, \varphi)} \right) \Big|_u < 0$$

因此存在 $2(q+1)$ 个线性近似渐近稳定与 $2(q+1)$ 个鞍点. 在稳定奇点处导算子的迹 $\sim \mu^{q-p}$, 根据隐函数定理, 我们容易看出原点失稳后分叉出 $4(q+1)$ 个非零奇点, 一半渐近稳定, 另一半是不稳定的.

现在研究情况 $s < p$. c_r 和 c_ψ 的形状及相互位置如图所示:

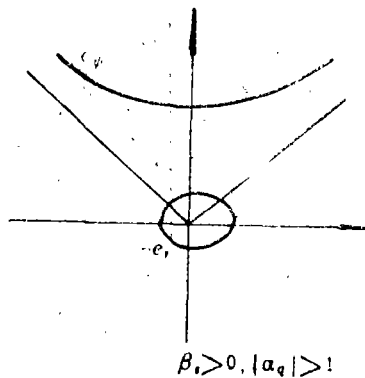


图 5

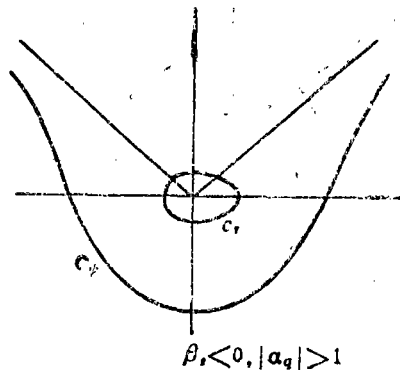


图 6

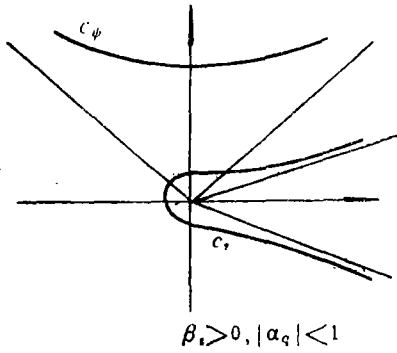


图 7

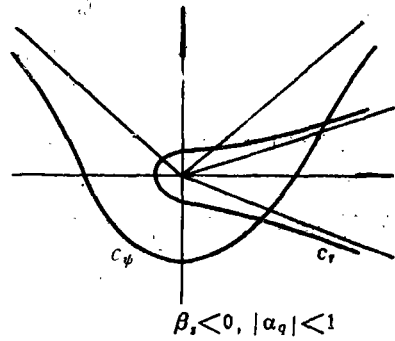


图 8

(1) $\beta_s < 0, |\alpha_q| < 1$ (见图8), 存在 $4(q+1)$ 奇点, 与上面的研究类似, $2(q+1)$ 个奇点渐近稳定, $2(q+1)$ 个不稳定.

(2) 其它三种情况 (见图5~7), 不存在非奇点. 如图9所示, 我们可以构造一个闭曲线, 使得方程 (4.4) 的轨线均从外部流向闭曲线内部. 在 r 为正的区域内选取 (4.4) 的轨线, 用两段圆弧将其与 c_ϕ 联结. 这样的闭曲线是合乎要求的. 根据 Bendixson 定理, 存在稳定极限环 $r_1(\varphi, \mu)$.

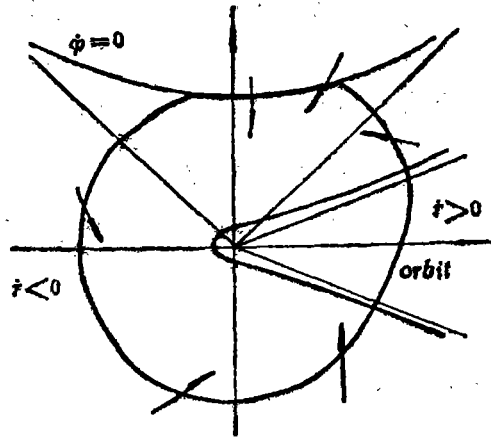


图 9

选取变量代换 $r = r_1(\varphi, \mu) (1 + \mu^s \rho)$

$$\begin{cases} \dot{\rho} = (2p\alpha_q r_1^{2q}(\varphi, \mu) + 2q(\alpha_q + \cos 2(q+1)\varphi) \\ \quad \cdot r_1^{2q}(\varphi, \mu)) \rho + \mu^s P(\rho, \varphi, \mu) \\ \dot{\varphi} = \beta_s r_1^{2s}(\varphi, \mu) + (\beta_q - \sin 2(q+1)\varphi) \\ \quad \cdot r_1^{2q}(\varphi, \mu) + \mu^s \Phi(\rho, \varphi, \mu) \end{cases}$$

由于

$$\int_0^{2\pi} \frac{\alpha_q r_1^{2q}(\varphi, \mu) + (\alpha_q + \cos 2(q+1)\varphi) r_1^{2q}(\varphi, \mu)}{\beta_s r_1^{2s}(\varphi, \mu) + (\beta_q - \sin 2(q+1)\varphi) r_1^{2q}(\varphi, \mu)} d\varphi = \int_{r(0)}^{r(2\pi)} \frac{dr}{r} = 0.$$

$$\int_0^{2\pi} \frac{2p\alpha_p r_1^{2p} + 2q(\alpha_q + \cos 2(q+1)\varphi) r_1^{2q}}{\beta_s r_1^{2s} + (\beta_q - \sin 2(q+1)\varphi) r_1^{2q}} d\varphi$$

$$= \int_0^{2\pi} \frac{-2(q-p)\alpha_p r_1^{2p}(\varphi, \mu)}{\beta_s r_1^{2s} + (\beta_q - \sin 2(q+1)\varphi) r_1^{2q}} d\varphi < 0$$

运用与证明定理1的同样方法可证得, 从原点分叉出一个关于 Poincaré 映射的渐近稳定不变圈。

最后研究 $s=p$, 只要下列方程有实解, c_p 与 c_r 就有交点:

$$\frac{\beta_p}{\beta_q - \sin\psi} = \frac{\alpha_p}{\alpha_q + \cos\psi}$$

即

$$\sin(\psi + \psi_0) = \frac{\alpha_p \beta_q - \beta_p \alpha_q}{\sqrt{\alpha_p^2 + \beta_p^2}}$$

其中

$$\tan\psi_0 = \frac{\beta_p}{\alpha_p}$$

$$\frac{|\alpha_p \beta_q - \beta_p \alpha_q|}{\sqrt{\alpha_p^2 + \beta_p^2}} \begin{cases} < 1 & \text{两个实解} \\ = 1 & \text{一个实解} \\ > 1 & \text{没有实解} \end{cases}$$

如果 (4.6) 有两个实解, 由于

$$\det\left(\frac{\partial(\dot{r}, \dot{\varphi})}{\partial(r, \varphi)}\right) = 4(q-p)(q+1)\cos(2(q+1)\varphi + \psi_0)r^{4q}$$

不难验证存在 $2(q+1)$ 个非零渐近稳定点, $2(q+1)$ 个鞍点, 如果 (4.6) 没有实解, 与 $s < p$ 的情况一样, 从原点分叉出一个关于 Poincaré 映射渐近稳定的不变圈。

参 考 文 献

- [1] 钱敏等, 非自治系统的不变圈(解流形)分支, 数学学报, 26 (1983).
- [2] Hale, J. K., Integral manifolds of perturbed differential systems, *Ann. Math.*, 73 (1963).
- [3] Gambaudo, J. A., Perturbation of a Hopf bifurcation by an external time-periodic forcing; *J. Diff. Eqns.*, 57 (1985).

Hopf Bifurcations of Nonautonomous Systems at Resonance

Cheng Chong-qing Ji Wen-mei

(Northwestern Polytechnical University, Xi'an)

Abstract

In this paper, Hopf bifurcations of nonautonomous systems at resonance are studied and similar results are obtained.